

## بررسی لرزه‌ای زمین‌لرزه ۲۰۱۰ بردسیر و زمین‌لرزه‌های ۲۰۱۱ سیرچ و کهنوج در استان کرمان

مجید نعمتی\*

دانشیار بخش زمین‌شناسی دانشکده علوم و مرکز پژوهشی زلزله دانشگاه شهید باهنر کرمان

پذیرش مقاله: ۱۳۹۶/۱۱/۲۷

تأیید نهایی مقاله: ۱۳۹۷/۷/۱۴

### چکیده

در طول یک سال سه زمین‌لرزه بردسیر (۲۰۱۰/۰۷/۳۱) با بزرگای  $M_s=5.8$ ، زمین‌لرزه کهنوج (۲۰۱۱/۰۶/۱۵) با بزرگای  $M_s=5.7$  و زمین‌لرزه سیرچ (۲۰۱۱/۰۶/۲۶) با بزرگای  $M_s=5.2$  در استان کرمان (یکی از مناطق لرزه‌ای جنبا در ایالت لرزه زمین‌ساختی خاور ایران) روی دادند. این زمین‌لرزه‌ها بر پایه لرزه‌نگاشتهای برداشت شده در شبکه لرزه‌نگاری محلی و شبکه‌های لرزه‌نگاری ناحیه‌ای دوباره کانون‌یابی شده و سازوکار آنها نیز با روش نخستین جنبش موج P به دست آورده شد. کانون‌یابی و برآورد سازوکار کانونی آنها نشان می‌دهد، به‌گمان این زمین‌لرزه‌ها وابسته به گسل‌های لاله‌زار، سبزواران و گلبهار می‌باشند. شبیه تند گسل‌های زمین‌لرزه‌ای بردسیر و سیرچ، رو به شمال خاوری و هم‌چنین شبیه تند گسل زمین‌لرزه کهنوج رو به خاور می‌باشد. سازوکار به دست آمده برای این سه زمین‌لرزه، به ترتیب راستالغز راستبر، معکوس با مولفه راستالغز راستبر و معکوس می‌باشند. سرانجام، می‌توان گفت نتایج این پژوهش با بررسی‌های میدانی زمین‌لرزه بردسیر، که بر پایه آن بیشینه شدت در سنجه‌های MM و JMA در گستره نزدیک به رومکز، VI بوده و هیچ شکستگی وابسته به این زمین‌لرزه در بازدید میدانی از پیرامون رو کانون آن یافت نشده است، هم‌خوانی دارد.

**واژه‌های کلیدی:** سازوکار، بردسیر، سیرچ، کهنوج، گسل زمین‌لرزه‌ای.

این زمینلرزه‌ها هیچ‌کدام تلفات جانی و مالی نداشتند، سامانه برق رسانی شهر کهنوچ در پی این رخداد لرزاها با مشکل مواجه شد. این گستره زیاد جنبای نبوده اگرچه، در نزدیکی سامانه گسلی بسیار جنبای زندان- میناب و در نزدیکی پهنه گذار بسیار جنبای لرزاها میان زاگرس و مکران (یمینی- فرد و همکاران، ۲۰۰۷) جای دارد. از کارهای لرزاها انجام شده در این گستره و پیرامون آن می‌توان به کارهای واکر و همکاران (۲۰۰۵)، تاتار و همکاران (۲۰۰۵) و واکر و همکاران (۲۰۱۳) که به شماره، درباره زمینلرزه داراب (گسل معکوس زاگرس)، زمینلرزه ۲۰۰۵ به در جنوب استان کرمان و زمینلرزه‌های ۲۰۱۰ و ۲۰۱۱ ریگان در استان سیستان و بلوچستان و ۲۰۱۱ ریگان در استان سیستان و بلوچستان می‌باشند، اشاره نمود. در این بررسی سازوکار سه زمینلرزه بردسیر، سیرج و کهنوچ بررسی می‌شوند. بهبیان دیگر، موضوع بحث این مقاله تعیین سازوکار زمینلرزه‌ها با یک روش نسبتاً دقیق (با توجه به بزرگای زمینلرزه‌ها) و امکان نسبت دادن آنها به گسلی معین در گستره رو کانونی زمینلرزه است.

### مواد و روش‌ها

#### زمین‌ساخت جنبای در گستره

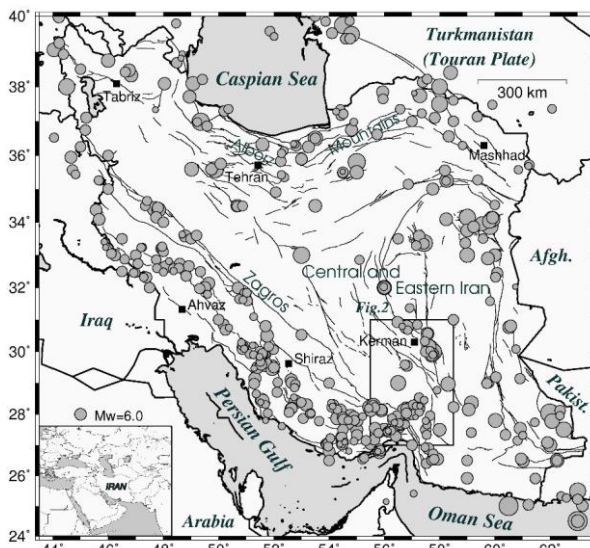
شاید بتوان گفت که گستره استان کرمان جنباترین پاره از ایالت لرزا زمین‌ساختی خاور ایران (بربریان، ۱۹۷۶) است (شکل ۱). گسل‌های این گستره مانند گسل‌های کوهبنان، گلبا، بم، گوک، لکرکوه، شهداد، لالهزار، رفسنجان، جیرفت و سبزواران، مسبب زمین‌لرزه‌های ویران‌گری در این استان می‌باشند. بلوک لوت و دشت جازموریان (شکل ۱) با گسل‌های شمالی- جنوبی راستالغز راست‌گرد از ایران مرکزی و زاگرس جدا می‌شوند (واکر، ۲۰۰۶). یکی از ویژگی‌های لرزاها

### مقدمه

سه زمین‌لرزه بردسیر، سیرج و کهنوچ (تقابی و همکاران، ۱۳۸۹؛ شکری و همکاران، ۱۳۹۰؛ شکری و همکاران، ۱۳۹۰) در بازه زمانی یک سال در ایالت لرزا زمین‌ساختی خاور ایران و روی سامانه‌های گسلی بزرگ راستالغز راست‌گرد، در چند جا که از دیدگاه لرزاها نایکسان بودند، روی داده‌اند. این زمین‌لرزه‌ها در شبکه لرزا نگاری محلی سازمان زمین‌شناسی و اکتشافات معدنی کشور<sup>۱</sup> در زاگرس میانی، شبکه‌های لرزا نگاری موسسه ژئوفیزیک دانشگاه تهران<sup>۲</sup> و پژوهشگاه بین‌المللی زلزله‌شناسی و مهندسی زلزله<sup>۳</sup> به خوبی و بدون نویه برداشت شده‌اند. جنباترین این سامانه‌ها گسل گلبا است که در پیشینه خود چشمۀ زمین‌لرزه‌های بزرگی بوده است. بزرگ‌ترین این زمین‌لرزه‌ها، زمین‌لرزه ۱۹۸۱/۰۷/۲۸ گلبا با بزرگای  $M_W=7.3$  است (بربریان و همکاران، ۱۹۸۴ و ۲۰۰۱). زمین‌لرزه بردسیر در گستره تهی از لرزا خیزی در نزدیکی گسل لالهزار روی داده است. به گونه‌ای که به جز زمین‌لرزه سال ۱۹۲۳ هیچ زمین‌لرزه بزرگ دیگری در آنجا روی نداده است (آمبراسیس و ملویل، ۱۹۸۲). گسل لالهزار را در این پژوهش می‌توان پاره‌ای از سامانه گسلی رفسنجان (فتحی و همکاران، ۲۰۱۱) در نظر گرفت. زمین‌لرزه کهنوچ نیز با بزرگای  $5/3$  در سنجه (ناتلی، ۱۹۷۳)  $M_N$  روی سامانه گسلی سبزواران- جیرفت در نزدیکی شهرستان کهنوچ روی داده، ژرفای آن ۳۴ کیلومتر بوده و تنها پیش‌لرزه این رویداد دو دقیقه پیش از رخداد زمین‌لرزه اصلی با بزرگای  $4/1$  در ۱۲ کیلومتری جنوب باختری کهنوچ برداشت شده است (IGUT). بنا به گزارش‌های تهیه شده (تقابی و همکاران، ۱۳۸۹؛ شکری و همکاران، ۱۳۹۰؛ شکری و همکاران، ۱۳۹۰) اگرچه، خوش‌بختانه،

گسل‌های راستالغز آزاد می‌شوند. این گسل‌ها بلوک لوت را که یک گستره بی‌لرزه است، دربر می‌گیرند. در پیرامون این بلوک کرنش‌های لرزه‌ای کاهش می‌یابند (ماسون و همکاران، ۲۰۰۵). راستای سامانه‌های گسلی بهم پیوسته و هم‌گرای نای‌بند و کوهبنان که گسل‌های گلباف و گوک را در ادامه دارند، در پاره جنوب خاوری، در راستای سامانه گسلی بهم بوده که خاستگاه زمین‌لرزه ویران‌گر بهم (طالبان و همکاران، ۲۰۰۴؛ تاتار و همکاران، ۲۰۰۵) می‌باشد.

استان کرمان این است که سامانه‌های گسلی بزرگ نای‌بند، کوهبنان و گلباف در شمال این استان بهم می‌رسند. همواره نقاط بهم‌رسی چندگانه<sup>۴</sup> گسل‌ها از ویژگی‌های لرزه‌ای مهمی برخوردار است، چون آن‌جا چگالی گسترشی‌ها بیش‌تر بوده، محل تمرکز تنش لرزه‌ای بوده و توان لرزه‌ای گسل‌ها بهم افزوده می‌شود (مانند بهم‌رسی گسل‌های آستانه و چاشم در البرز خاوری (نعمتی و همکاران، ۲۰۱۱). بیش‌تر کرنش‌های لرزه‌ای در خاور ایران روی این



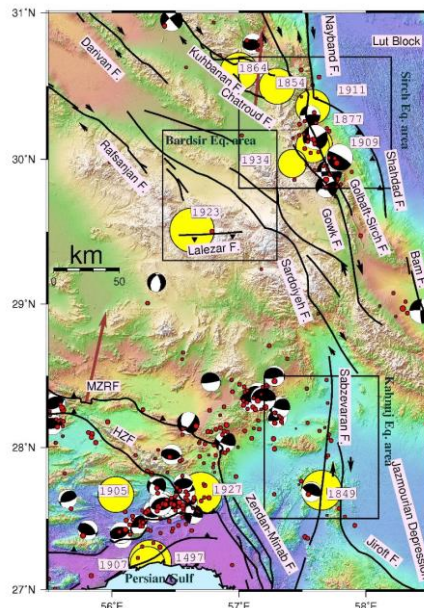
شکل ۱: نقشه گسل‌های ایران و روکانون زمین‌لرزه‌های بزرگ‌تر از ۵.۰. گسل‌ها از کار حسامی و همکاران (۲۰۰۳) و روکانون زمین‌لرزه‌ها از کاتالوگ پژوهشگاه بین‌المللی زلزله‌شناسی و مهندسی زلزله برگرفته شده است. چهارگوش نشان داده شده در نقشه محدوده شکل ۲ می‌باشد. نواحی و شهرهای مهم روی نقشه نشان داده شده‌اند.

سامانه‌های گسلی سبزواران- جیرفت هستند (یمینی‌فرد و همکاران، ۲۰۰۷). یمینی‌فرد و همکاران (۲۰۰۷) در این گستره خرد زمین‌لرزه‌هایی با ژرفای ۲۵ تا ۳۵ کیلومتر با سازوکار راستالغز راست‌گرد و راندگی نیز گزارش کرده‌اند (شکل ۲). زمین‌لرزه‌هایی که در نقشه شکل ۲ با نشان‌گرهای قرمز نشان داده شده‌اند، زمین‌لرزه‌های دواره کانون‌یابی شده کاتالوگ انگدال (ISC, 2012) هستند. این زمین‌لرزه‌ها با

گستره روکانونی زمین‌لرزه کهنه‌وج که پهنه گذار لرزه‌ای میان ایالت‌های لرزه زمین‌ساختی زاگرس و مکران (بربریان، ۱۹۷۶) است، به هیچ روی، با دو گستره روکانونی زمین‌لرزه‌های بردسیر و سیرچ یکسان نیست. در این گستره زمین‌لرزه‌ها ژرفای بیش‌تری داشته و گواه جنبش گسل‌های تراگذری<sup>۵</sup> هستند که پوسته را تا انتهای بریده‌اند، (مانند گسل زندان- میناب) (شکل ۱). در این گستره خردلرزه‌های کم ژرفاتر وابسته به

دور لرز خوانده شده و به کارگیری ایستگاه هایی با نبود آزمیوتی کمتر از ۱۸۰ درجه دوباره کانون یابی شده اند.

روش انگدال با به کار گیری یک مدل پوسته سرعتی یک بعدی موج P دقیق تر مانند AK135، فازهای S و PKP، فازهای ژرفی pP و pS، وزن دهی فازها بر پایه فاصله، دست کم ۱۰ فاز



شکل ۲: لرزه‌خیزی گسترهای پیرامون روکانون زمین‌لرزه سیرج، زمین‌لرزه بردسیر و زمین‌لرزه کنهنج. گسل‌ها در این نقشه از نقشه‌های زمین‌شناسی سازمان زمین‌شناسی (GSI) و راستای جابه‌جایی راستالغز و شب‌لغز آنها نیز از کار حسامی و همکاران (۲۰۰۳) برگرفته شده است. زمین‌لرزه‌هایی با نشان‌گرهای قرمز زمین‌لرزه‌های دوباره کانون‌یابی شده کاتالوگ انگدال (ISC Catalogue, 2012) بوده و نشان‌گرهای زرد رنگ زمین‌لرزه‌های تاریخی هستند (آمبراسیس و ملویل، ۱۹۸۲؛ بربریان و ییتس، ۱۹۹۹). بردارهای قهواهای بردارهای GPS سرعت می‌باشند (ورنانت و همکاران، ۲۰۰۴).

خاوری است. بر پایه نقشه‌های زمین‌شناسی (GSI) و همچنین پژوهش طالبیان و همکاران (۲۰۰۶) این گسل جوان و لرزه‌زا بوده چون نهشته‌های کواترنری را بریده است. در پی جنبش دوباره این گسل، زمین‌لرزه سال ۱۸۵۴ هوری‌جان با بزرگای  $M_s=5.8$  و زمین‌لرزه سال ۱۸۶۴ چترود با بزرگای  $M_s=6.0$  در پایانه جنوبی آن (شکل ۱)، زمین‌لرزه سال ۱۸۹۷ چترود با بزرگای  $M_s=5.7$ ، زمین‌لرزه ۱۹۷۷/۰۹/۱۷ با بزرگای  $M_s=5.6$  و زمین‌لرزه ۱۹۷۷/۱۲/۱۹ باب‌تنگل  $M_s=5.6$

گسل‌های گستره

گستره استان کرمان از دیدگاه ویژگی‌های لرزه زمین‌ساختی در ایالت لرزه زمین‌ساختی خاور ایران جای گرفته، که گسل‌های بسیار جنبایی مانند گسل گلباف در آن جای دارد (واکر، ۲۰۰۶). در این بخش مهم‌ترین گسل‌های این گستره و زمین‌لرزه‌های آنها بررسی می‌شوند.

- راستای گسل کوهبنان که در ازای آن نزدیک به ۳۰۰ کیلومتر است، شمال باختری - جنوب خاوری می‌باشد. جابه‌جایی این گسل، راست گرد و راندگی می‌باشد. شبیب آن تندر و رو به شمال

روی گسل گلباف باعث انتقال تنش به گسل شهداد شده است (فیلیدینگ و همکاران، ۲۰۰۴). - گسل لکرکوه گسلی با راستای شمال باختری - جنوب خاوری است که با گسل‌های نای‌بند و کوهبنان در شمال گستره روکانونی زمین‌لرزه سیرج به هم می‌رسند. درازای این گسل در بخش خاوری نزدیک به ۷۰ کیلومتر می‌باشد. شیب این گسل تند بوده و سازوکار آن راستالغز راست‌گرد می‌باشد (واکر، ۲۰۰۶). راستای این گسل در شمالی‌ترین و جنوبی‌ترین بخش‌های آن به ترتیب، به سوی باختر و خاور خم شده راستای آن نزدیک به خاوری-باختری می‌شود. از این‌رو، سازوکار این گسل در آن بخش‌ها بایستی از راستالغز به شیب‌لغز تغییر نماید.

- گسل رفسنجان با راستای شمال باختری-جنوب خاوری دارای درازای بیش از ۱۴۰ کیلومتر بوده، تا نزدیکی گستره روکانونی زمین‌لرزه بردسر گسترش دارد (فتاحی و همکاران، ۲۰۱۱). شیب این گسل به سوی شمال خاوری بوده و راستالغز راست‌گرد می‌باشد. زمین‌لرزه ۱۹۲۳/۰۹/۲۲ با بزرگای  $M_{S}=6.2$  و زمین‌لرزه ۱۹۲۴/۰۱/۱۸ با بزرگای  $M_{S}=5.7$  روی راستای این گسل روی داده‌اند (فتاحی و همکاران، ۲۰۱۱؛ بربریان و همکاران، ۱۹۸۴) (شکل ۱). فتاحی و همکاران (۲۰۱۱) بقایای یک گسیختگی با نزدیک به ۳ متر جابه‌جایی را یافته‌اند، که احتمالاً متعلق به یک زمین‌لرزه با بزرگای بیشتر از ۷۰ روی این گسل بوده است. بنابراین، این گسل توانایی ایجاد یک زمین‌لرزه بزرگ را داشته باشد.

- سامانه گسلی سبزواران- جیرفت از دو گسل جیرفت و سبزواران تشکیل شده است. جنبش راستالغز هر دو آنها راست‌گرد است. شیب این دو گسل بر پایه سازوکار خردلرزه‌های برداشت شده با یک شبکه لرزه‌نگاری محلی (یمینی-فرد و

(گیسک) با بزرگای  $M_{S}=5.8$  روی داده‌اند (بربریان و همکاران، ۱۹۸۴).

- گسل کواترنری گلباف نیز راستالغز راست‌گرد بوده و جنباترین گسل در گستره در دست بررسی می‌باشد. این گسل راستای شمال، شمال باختری-جنوب، جنوب خاوری دارد. درازای آن بیش از ۱۵۰ کیلومتر نیست. سامانه گسلی گلباف متشکل از چندین پاره گسل با ساختار پلکانی است (بربریان و همکاران، ۱۹۸۴). این سامانه از پایانه جنوبی گسل نای‌بند در شمال تا رشته‌کوه‌های جبال‌بارز در جنوب کشیدگی دارد. گسل گلباف بخشی از سامانه گسلی راستالغز راست‌بر نایبند-سبزواران است که کناره باختری لوت را تشکیل می‌دهد. سازوکار چیره گسل گلباف راستالغز راست‌بر بوده و با توجه به شیب زیاد صفحه گسل، مؤلفه شیب لغز در رویدادهای مختلف لرزه‌ای به هر دو صورت نرمال و معکوس ظاهر شده است (شکری و همکاران، ۱۳۹۰). از سوی دیگر تکامل ریخت‌زمین‌ساختی این گسل نیز، هر دو مؤلفه شیب‌لغز عادی و راندگی را نشان می‌دهد (واکر و جکسون، ۲۰۰۲). زمین‌لرزه ۱۹۸۱/۰۷/۲۸ (واکر و جکسون، ۲۰۰۲) سیرج با بزرگای  $M_{S}=7.3$  و زمین‌لرزه ۱۹۹۸/۰۳/۱۴ فندوقاً با بزرگای  $M_{W}=6.6$  (بربریان و همکاران، ۱۹۸۴؛ بربریان و همکاران، ۲۰۰۱) در پی جنبش این گسل روی داده‌اند (شکل ۱).

- گسل شهداد گسلی است با سازوکار راندگی و دارای خمیدگی رو به شمال خاوری که درازایی نزدیک به ۱۰۰ کیلومتر و شیبی به سوی جنوب باختری دارد (واکر، ۲۰۰۶) (شکل ۱ و ۲). گمان می‌رود که این گسل جنبایی چندانی نداشته باشد. چین‌خوردگی همراه با گسل‌ش باعث فراخاست نزدیک به ۶۰۰ کیلومتر مربع از زمین در گستره این گسل شده است. این چین‌خوردگی همراه با گسل‌ش بی‌لرزه می‌باشد. زمین‌لرزه ۱۹۹۸ فندوقاً

راستای این گسیختگی‌ها نزدیک به شمالی - جنوبی می‌باشد (بربریان و همکاران، ۱۹۸۱؛ بربیریان و همکاران، ۲۰۰۱).

-زمین‌لرزه ۱۹۸۱/۰۷/۲۸ سیرج (چهارفرسنگ) با بزرگای  $M_{S}=7.1$  بزرگ‌ترین زمین‌لرزه‌ای است که تاکنون در گستره استان کرمان روی داده است. بیشینه شدت این زمین‌لرزه VIII براورد شده است. زمین‌لرزه چهار فرسنگ روی گسل گلباف بیشینه جابه‌جایی ۶۰ سانتی‌متر و ۶۵ کیلومتر شکستگی در دو سوی دره گوک ایجاد نموده است. این زمین‌لرزه و زمین‌لرزه ۱۹۹۸ فندوقا روى هم رفته ۸۸ کیلومتر شکستگی ایجاد نموده‌اند (بربریان و همکاران، ۱۹۸۱؛ بربیریان و همکاران، ۲۰۰۱).

-زمین‌لرزه ۱۹۹۸ فندوقا زمین‌لرزه‌ای است با بزرگای  $M_{W}=6.6$  که در پیرامون روستای فندوقا در شمال گلباف روی داده است. این زمین‌لرزه دارای شمار زیادی پس‌لرزه بوده که بزرگ‌ترین آنها دارای بزرگای  $m_b=4.9$  بوده است. این زمین‌لرزه در پی جنبش دوباره گسل زمین‌لرزه‌ای گلباف، نزدیک به ۲۳ کیلومتر گسل‌ش و نزدیک به ۳ متر جابه‌جایی راستالغز راست‌گرد و یک متر جابه‌جایی عادی با شیب تند ایجاد کرده است. شکستگی این زمین‌لرزه دنباله شکستگی زمین‌لرزه‌های ۱۹۸۱ در دره گوک بوده است (بربریان و همکاران، ۲۰۰۱). جابه‌جایی راستالغز راست‌گرد این زمین‌لرزه با پیوندهای ریاضی بزرگاً درازای گسل (کریمی و همکاران، ۲۰۱۳؛ نعمتی و تاتار، ۲۰۱۵) هم خوانی ندارد.

-زمین‌لرزه ۱۹۸۹ گلباف با بزرگای  $M_{W}=5.8$  دارای یک شکستگی با راستای NNW-SSE، با درازای ۱۹ کیلومتر بوده که چند سانتی‌متر جابه‌جایی روی گسل سیرج گلباف در جنوب گلباف داشته است (بربریان و قرشی، ۱۹۹۴).

همکاران، ۲۰۰۷) نزدیک به شاقولی براورد شده است (شکل ۲). در این پژوهش، خردلرزه‌های برداشت شده توسط شبکه لرزه‌نگاری محلی آنها در گستره این سامانه گسلی کم‌زراfa بوده است. با به‌کارگیری داده‌های شبکه محلی، آن‌ها سازوکار راستالغز راست‌گرد را برای خردلرزه‌های این گسل‌ها پیش‌نهاد نموده‌اند.

-گسل لاله‌زار نیز که به گمان، دنباله گسل رفسنجان بوده و یا از شاخه‌های این گسل می‌باشد، ۴۰ کیلومتر درازا داشته و راستای آن نزدیک به خاوری- باختری است (فتاحی و همکاران، ۲۰۱۱) (شکل ۱). زمین‌لرزه پیش‌دستگاهی سال ۱۹۲۳ نیز به گمان روی گسل لاله‌زار روی داده است (آمبراسیس و ملویل، ۱۹۸۲). سازوکار این گسل معکوس بوده و شبیب آن نیز رو به شمال می‌باشد (فتاحی و همکاران، ۲۰۱۱).

**زمین‌لرزه‌های تاریخی و دستگاهی گستره:**  
زمین‌لرزه ۱۸۴۹ کهنوج با  $M_{S}=6.2$ ، زمین‌لرزه ۱۸۵۴ خورجند با شدت VIII، زمین‌لرزه ۱۸۶۴ چترود با  $M_{S}=6.8$ ، زمین‌لرزه ۱۸۷۷ کرمان- چترود با  $M_{S}=5.5$ ، زمین‌لرزه ۱۹۲۳ لاله‌زار با شدت  $VII^{+}$  و بزرگای  $M_{W}=6.9$ ، زمین‌لرزه ۱۹۴۸ گوک (گلباف) با  $M_{S}=6.0$ ، زمین‌لرزه ۱۹۷۷ گیسک زرند (باب‌تنگل) با  $M_{S}=5.8$ ، زمین‌لرزه ۱۸۴۹ ۱۹۳۴ کرمان با  $M_{S}=5.0$  و زمین‌لرزه ۱۹۴۹ جیرفت با  $M_{S}=6.2$  (شکل ۱) زمین‌لرزه‌های تاریخی گستره می‌باشند (بربریان و بیتس، ۱۹۸۱؛ آمبراسیس و ملویل، ۱۹۸۲). در اینجا به بررسی مهم‌ترین زمین‌لرزه‌های دستگاهی نیز می‌پردازیم.  
در زمین‌لرزه ویران‌گر ۱۹۸۱/۰۶/۱۱ گلباف با بزرگای  $M_{S}=6.7$  که استان کرمان را به لرزه درآورده، پاره‌ای از سامانه گسلی گوک و گسل گلباف به گونه شمالی- جنوبی جایه‌جا شده است.

## نتایج

### پردازش سازوکارها

به دست آوردن سازوکار زمین‌لرزه‌ها با به کارگیری قطبش‌های نخستین موج  $P^6$  رسیده به ایستگاه‌های لرزه‌نگاری باند پهنه، بلند دوره و همچنین کوتاه دوره امکان‌پذیر است، اگر موج‌هایی به جز  $pP$  به کار برده شوند (هاوزکوف و اوتمولر، ۲۰۰۵ و ۲۰۱۰). اگر خطای روکانونی زمین‌لرزه از فاصله میان ایستگاه‌های به کار برده شده برای به دست آوردن سازوکار آن کمتر باشد، خطای کانون‌یابی تاثیر زیادی روی سازوکار نمی‌گذارد. تاثیر خطای کانون‌یابی به ویژه خطای ژرفی زمین‌لرزه روی سازوکار آن برای زمین‌لرزه‌های محلی با فاصله روکانونی کمتر از ۱۵۰ کیلومتر بسیار بیشتر از زمین‌لرزه‌های ناحیه‌ای و دورلرز می‌باشد (استین و وایشن، ۲۰۰۳). زیرا زمین‌لرزه‌های محلی (همچنین خردلرزه‌ها و پس‌لرزه‌ها) بیشتر با شبکه‌های محلی با فاصله میان ایستگاهی کم برداشت می‌شوند. جای ایستگاه روی دایره سازوکار کانونی بستگی به زاویه گسیل<sup>۷</sup> موج داشته که آن هم به ژرفای زمین‌لرزه بستگی دارد. از آنجایی که زاویه گسیل موج زمین‌لرزه‌های محلی بزرگ‌تر از زمین‌لرزه‌های ناحیه‌ای و دورلرز می‌باشد (لی و والاس، ۱۹۹۵)، بنابراین خطای ژرفی در زمین‌لرزه‌های ناحیه‌ای و دورلرز تاثیر کمتری روی زاویه گسیل موج و در پی آن سازوکار زمین‌لرزه می‌گذارد تا زمین‌لرزه‌های محلی. پژوهش‌گران زیادی با این روش سازوکار زمین‌لرزه‌ها را در یک گستره وسیعی از بزرگ‌گا به دست آورده‌اند (مکنزی، ۱۹۷۲؛ جکسون و مکنزی، ۱۹۸۴؛ عکاشه و برکمر، ۱۹۸۴؛ پرسیتلى و همکاران، ۱۹۹۴؛ نی و برازنگی، ۱۹۸۶). برونداد این پژوهش برای این زمین‌لرزه‌ها هم‌آمیخت و در پی آن پردازش

پس‌لرزه‌های این زمین‌لرزه نشان از گسلی ژرفی با درازای ۲۰ کیلومتر و بیشینه ژرفای ۲۵ کیلومتر داشتند (فاطمی و همکاران، ۱۳۷۷).

زمین‌لرزه ۲۰۰۳ به با بزرگ‌ای  $M_w=6.6$  شکستگی تازه‌ای روی سامانه گسلی به پدید آورده که این گسل زمین‌لرزه‌ای راست‌الغز راست‌گرد بوده و دارای شیب تند رو به باختراست. این گسل کم‌ژرف (کمتر از ۱۵ کیلومتر) بوده، درازایی نزدیک به ۱۵ کیلومتر و جابه‌جایی نزدیک به ۲۵ سانتی‌متر داشته است (طالبیان و همکاران، ۲۰۰۶). پس‌لرزه‌های آن ۲۰ کیلومتر گستردگی داشته که می‌تواند نشان سtribe ای شکستگی ژرفی آن باشد (تاتار و همکاران، ۲۰۰۵).

زمین‌لرزه ۲۰۰۵ داهوئیه (زرند) با بزرگ‌ای  $M_s=6.5$  در خاور شهر زرند، در کوه‌های خاوری گسل کوهبنان در شمال استان کرمان روی داده است. راستای پس‌لرزه‌ها پراکندگی خاوری-باختری را نشان داده و بزرگ‌ترین آنها با بزرگ‌ای ۴/۲ با یک شبکه لرزه‌نگاری محلی برداشت شده است (نعمتی و قیطانچی، ۲۰۰۹). گسل خاستگاه این زمین‌لرزه یک گسل تازه پدید آمده با راستای خاوری-باختری با رخنمونی به درازای نزدیک به ۱۲ کیلومتر و با شیب ۶۰ درجه رو به شمال بوده که سازوکار چیره آن راندگی بوده و سامانه راست‌الغز آن نیز راست‌گرد بوده است. جابه‌جایی راندگی این گسل پیامد جابه‌جایی راست‌الغز راست‌گرد گسل بزرگ کوهبنان با راستای شمال باختری-جنوب خاوری بوده است (طالبیان و همکاران، ۲۰۰۶).

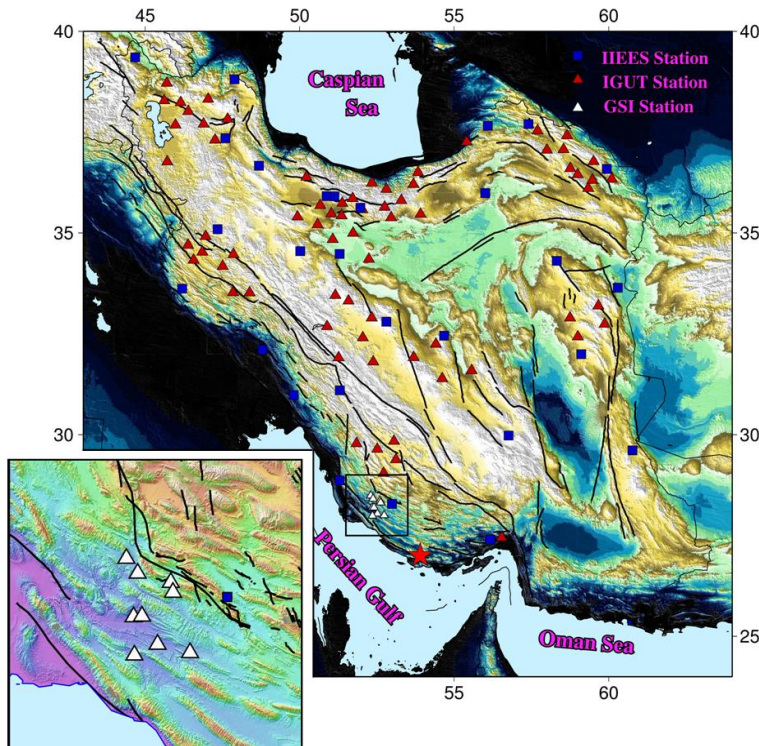
بایستی به زمین‌لرزه‌ای ۱۹۷۷/۰۳/۲۱ (آمبراسیس و ملویل، ۱۹۸۲) و ۱۹۹۹/۰۳/۰۴ (هاروارد، ۲۰۱۳) که در نزدیکی روکانون زمین‌لرزه که‌نوج جای دارند، نیز اشاره نمود (شکل ۲).

(پیوست ۱). روش به دست آوردن سازوکار زمین‌لرزه‌ها به کارگیری قطبیش‌های نخستین موج P رسیده به ایستگاه‌ها است. برای ایستگاه‌های P نزدیک‌تر از ۱۵۰ کیلومتر فاز  $P_g$  و برای ایستگاه‌های دورتر فاز  $P_n$  خوانده شده‌اند. این سازوکارها جابه‌جایی راست‌گردد برای زمین‌لرزه‌های بردسیر و کهنوج و جابه‌جایی راندگی برای زمین‌لرزه سیرج پیشنهاد می‌کنند. در این پژوهش، بزرگ‌ترین زمین‌لرزه بردسیر در سنجه  $M_L$  با میانگین‌گیری میان ۹ ایستگاه،  $5/4$  به دست آمد (جدول ۱).

موج‌های پیکری برداشت شده با ایستگاه‌های شبکه‌های لرزه‌نگاری موسسه ژئوفیزیک دانشگاه تهران، پژوهشگاه بین‌المللی زلزله‌شناسی و شبکه محلی سازمان زمین‌شناسی (در سال ۲۰۱۰ در استان فارس راه‌اندازی شده بود (نعمتی و اویسی، ۱۳۸۹)) بوده است (شکل ۳). ایستگاه‌های این شبکه، موج‌های پیکری زمین‌لرزه بردسیر را به خوبی و بدون نویه برداشت کرده‌اند. بیشینه خطای کانون‌یابی این زمین‌لرزه‌ها ۵ کیلومتر بوده و بیشینه چرخش صفحه‌های گرهی<sup>۱</sup> ها در سازوکارها ۵ درجه می‌باشد. این سازوکارها با کمترین خطای در پلاریته‌ها پردازش شده‌اند

جدول ۱: ویژگی‌های زمین‌لرزه‌های بردسیر، کهنوج، سیرج و پس‌لرزه‌های بزرگ آن‌ها.

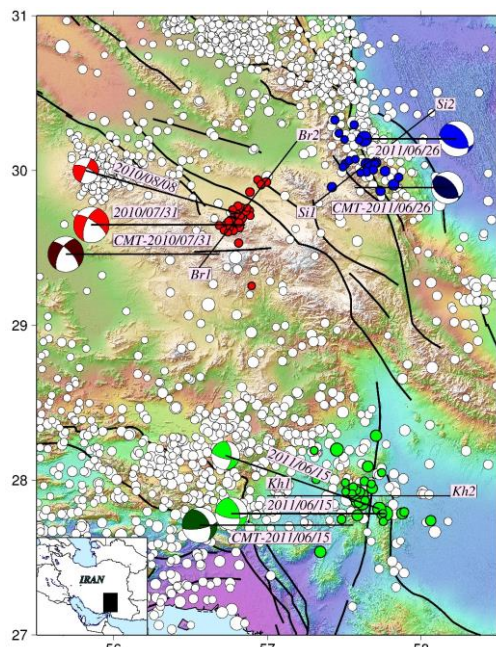
Fault Plane									
.Ref.	Rake	Dip	°Strike	Mag.	RMS(s)	Depth(km)	Lat.(°N)	Long.(°E)	Origin Time
CMT	۱۵۷	۴۵	۲۳۳	(M <sub>S</sub> ) <sup>۵/۷</sup>	-	۴۱	۲۷۷۷۱	۵۷/۵۶	۰۱:۰۵-۱۵/۰۶/۲۰۱۱
IGUT	-	-	-	(M <sub>N</sub> ) <sup>۵/۳</sup>	۰/۶	۲۴	۲۷۷۸۴	۵۷/۷۶	۰۱:۰۵-۱۵/۰۶/۲۰۱۱
here	۴۵۹	۶۷/۶۸	۹۶۹۶	-	۰/۵	۳۱	۲۷۹۰۶	۵۷/۶۱۸	۰۱:۰۵-۱۵/۰۶/۲۰۱۱
IGUT	-	-	-	(M <sub>N</sub> ) <sup>۴/۶</sup>	۰/۶	۲۷	۲۷/۸۱۶	۵۷/۷۲۸	۰۲:۴۳-۱۵/۰۶/۲۰۱۱
here	۳۶	۷۱/۲	۱۰۲۸	-	-	-	-	-	۰۲:۴۳-۱۵/۰۶/۲۰۱۱
CMT	۷۱	۳۶	۱۱۴	(M <sub>S</sub> ) <sup>۵/۲</sup>	-	۲۲	۲۹/۸۹	۵۷/۵۷	۱۹:۴۴-۲۶/۰۶/۲۰۱۱
IGUT	-	-	-	(M <sub>N</sub> ) <sup>۵/۲</sup>	۰/۵	۱۳	۳۰/۲۰۶	۵۷/۶۳	۱۹:۴۴-۲۶/۰۶/۲۰۱۱
here	۶۷۳	۴۷/۴	۱۰۵۸	-	۰/۵	۱۰	۳۰/۰۲۶	۵۷/۵۵۲	۱۹:۴۴-۲۶/۰۶/۲۰۱۱
CMT	-۲۵۰	۶۰	۲۱۱	(M <sub>S</sub> ) <sup>۵/۸</sup>	-	۱۸	۲۹/۴۶	۵۶/۶۹	۰۶:۵۲-۳۱/۰۷/۲۰۱۰
IGUT	-	-	-	(M <sub>N</sub> ) <sup>۵/۸</sup>	۰/۶	۴	۲۹/۷۰۳	۵۶/۸۱۲	۰۶:۵۲-۳۱/۰۷/۲۰۱۰
here	-۲۱۰	۶۱	۲۰۳	(M <sub>L</sub> ) <sup>۵/۴</sup>	۰/۶	۹	۲۹/۶۵	۵۶/۸۵۶	۰۶:۵۲-۳۱/۰۷/۲۰۱۰
IGUT	-	-	-	(M <sub>N</sub> ) <sup>۴/۸</sup>	۰/۶	۵	۲۹/۷۲۱	۵۶/۸۲	۲۲:۵۲-۰۸/۰۸/۲۰۱۰
here	-۱۷۷	۸۶/۶	۲۰۳۸	-	-	-	-	-	۲۲:۵۲-۰۸/۰۸/۲۰۱۰



شکل ۳: ایستگاه‌هایی که داده‌های آنها برای پردازش سازوکار زمین‌لرزه‌ها به کار برد شده‌اند.

باختری-جنوب خاوری سازوکار این زمین‌لرزه‌ها نیز با پایانه گسل رفستجان (گسل لاله‌زار) سازگار است. شیب رو به شمال خاوری و راستالغز راست‌گرد بودن پایانه جنوب خاوری این گسل (فتاحی و همکاران، ۲۰۱۱) نیز با سازوکار ما هم‌خوانی دارد. شیب گسل لاله‌زار رو به شمال بوده، راستای آن شمال باختری-جنوب خاوری تا خاوری-باختری است و با سازوکار زمین‌لرزه بردسیر سازگاری دارد. این زمین‌لرزه یک سامانه شیب‌لغز عادی با شیب تندر دارد. سرانجام، اگر زمین‌لرزه سیرچ نیز وابسته به گسل گلباف باشد، بر پایه این سازوکار گسل گلباف راستالغز راست‌گرد با شیب تندر رو به شمال خاوری می‌باشد. اگرچه سامانه راندگی در این سازوکار برتر است.

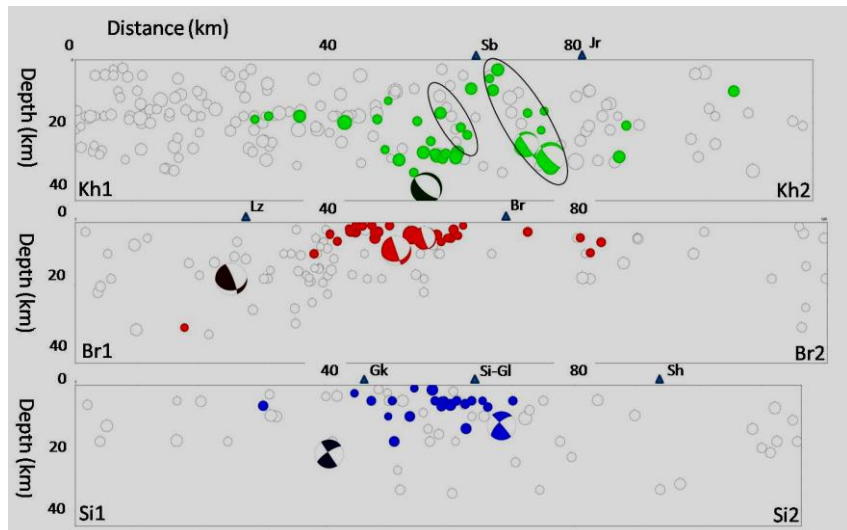
با نگاهی به شکل‌های ۳ و ۴ و با دیدگاه نزدیک‌تر بودن رو کانون زمین‌لرزه کهنوج (IGUT) به گسل سبزواران، رو به شمال خاوری بودن شیب آن و هم‌خوانی خوب پهنه لرزه‌خیز نشان داده شده (بیضی) با محل گسل در برش Kh، به گمان این گسل و نه گسل جیرفت خاستگاه این زمین‌لرزه بوده است. نزدیک بودن کانون زمین‌لرزه کهنوج به بزرگ‌ترین پسلرزه آن نشان از درست‌تر بودن کانون‌یابی این پژوهش نسبت به کانون‌یابی کاتالوگ هاروارد دارد. همان‌گونه که در شکل‌های ۴ و ۵ دیده می‌شود، یک کاف<sup>۹</sup> لرزه‌ای در گستره روکانونی زمین‌لرزه بردسیر دیده می‌شود. این گستره خالی از خردلرزه‌خیزی است. زمین‌لرزه بردسیر و پسلرزه بزرگ آن، به گمان به گسل لاله‌زار که در راستای گسل رفستجان است، وابسته هستند. چون راستای پهنه گسلی شمال



شکل ۴: نقشه لرزه‌خیزی و سازوکار زمین‌لرزه‌ها. سازوکار CMT زمین‌لرزه‌های بردسیر، سیرج و کهنوج، به ترتیب با رنگ‌های قرمز، آبی و سبز پررنگ نشان داده شده‌اند. سازوکار کانونی پردازش شده زمین‌لرزه‌های بردسیر، سیرج و کهنوج در این پژوهش که بر پایه پلاریته نخستین جنبش موج P برداشت شده در ایستگاه‌های لرزه‌نگاری هستند، به ترتیب با رنگ‌های قرمز، آبی و سبز کمرنگ نشان داده شده‌اند. پس‌لرزه‌ها (IGUT) زمین‌لرزه بردسیر با نشان‌گرهای قرمز، زمین‌لرزه کهنوج با نشان‌گرهای سبز، زمین‌لرزه سیرج با نشان‌گرهای آبی و خردلرزه‌خیزی (IGUT، 2006-2010) با نشان‌گرهای سفید در گستره پیرامون زمین‌لرزه‌ها نمایش داده شده است.

گرفتن خطای ژرفی پس‌لرزه‌ها می‌توان گفت که به گمان، هر سه زمین‌لرزه در یک گستره ژرفی تهی از پس‌لرزه روی داده و پس‌لرزه‌ها به تنها یی شیبی را برای گسل‌های چشممه نشان نمی‌دهند. شاید بتوان دو به خط شدگی در خردلرزه‌ها و پس‌لرزه‌ها را در برش Kh با شیب تند رو به خاور جدا کرد. بیضی‌ها در شکل ۵ به خط شدگی زمین‌لرزه‌ها را در برش نشان می‌دهند. اگرچه، دقیق کانون‌یابی زمین‌لرزه‌ها در حد شبکه محلی نیست، شاید بتوان با توجه به سازوکارهای معکوس و به خط شدگی در بیضی بزرگ‌تر و به خط شدگی در بیضی کوچک‌تر یک پهنه گسلی با این شیب به هر کدام از آن‌ها نسبت داد.

گسل‌های سیرج و بردسیر هر دو کم‌ژرف‌افا هستند. ژرفای لرزه‌خیزی در برش‌های Si و Br تا ۲۰ کیلومتری و ژرفای لرزه‌خیزی در برش Kh تا ۴۰ کیلومتر نیز می‌رسد (شکل ۵). خطای زیاد در کانون‌یابی با روش حل تانسور گشتاور زمین‌لرزه<sup>۱۰</sup> در هر سه زمین‌لرزه به خوبی در برش‌ها دیده می‌شود. روش CMT هر سه زمین‌لرزه را ژرف‌تر کانون‌یابی کرده است. با نگاهی به سازوکارها در برش‌ها به خوبی دیده می‌شود که شیب پهنه‌های گسلی در دو زمین‌لرزه بردسیر و سیرج رو به شمال خاوری بوده و در زمین‌لرزه کهنوج به سوی خاور است، اگرچه، در زمین‌لرزه سیرج سامانه راندگی و در زمین‌لرزه‌های بردسیر و کهنوج سامانه راستالغز برتر می‌باشد. سرانجام با در نظر



شکل ۵: سه برش عمود بر گسل‌های چشمیه زمین‌لرزه‌های سیرج (Si)، بردسیر (Br) و کهنوج (Kh). راستای برش‌ها در شکل ۴ نشان داده شده و رنگ نشان‌گرها همان رنگ‌ها در آن شکل می‌باشد. در این برش‌ها گسل‌های جیرفت، سبزواران، بردسیر، لالهزار، گوک، سیرج-گلباف و شهداد به شماره، با نام‌های Jr، Lz، Br، Sb، Gk، Si-Gl، Sh و Br2 نشان داده شده‌اند. بیضی‌ها به خط‌شدنی زمین‌لرزه‌ها را در برش نشان می‌دهند. شاید بتوان با توجه به سازوکارهای معکوس و به خط‌شدنی در بیضی بزرگ‌تر و به خط‌شدنی در بیضی کوچک‌تر یک پهنه گسلی با این شبیه به هر کدام نسبت داد.

می‌باشند. پردازش سازوکارها نشان می‌دهد که هر دو گسل خاستگاه زمین‌لرزه‌های سیرج و بردسیر دارای شیب تند رو به شمال خاوری و گسل چشمیه زمین‌لرزه کهنوج دارای شیب رو به خاور می‌باشد. ناهمخوانی اندک میان سازوکار CMT و روش نخستین جنبش موج P به نایکسانی روش‌های پردازش، خطای کانون‌یابی و پراکندگی نایکنواخت ایستگاه‌های لرزه‌نگاری باز می‌گردد. ژرفتر بودن نسبی کانون زمین‌لرزه‌های اصلی در سنجش با پس‌لرزه‌های آنها گواهی بر درست بودن کانون‌یابی زمین‌لرزه‌های اصلی می‌باشد. شاید بتوان گفت که رفتار مواد تشکیل دهنده پوسته زمین در برابر تنش<sup>۱۱</sup> پوسته شکننده و دینامیک شکست در لایه لرزه‌زا ایجاد می‌کند بیشتر زمین‌لرزه‌های بزرگ‌تر از ۵/۵ که کانون آنها در کف لایه لرزه‌زا جای دارد، ژرفتر از پس‌لرزه‌های خود باشند. از آنجایی که پس‌لرزه‌ها همواره دوام فرایند شکست بوده و همچنین این فرآیند، بیش‌تر از پایین به بالا در لایه لرزه‌زا پیش می‌رود،

## بحث و نتیجه‌گیری

این بررسی نشان می‌دهد که به‌گمان، رویداد زمین‌لرزه ۲۰۱۰ کهنوج به گسل سبزواران و رویداد زمین‌لرزه ۲۰۱۱ سیرج به گسل گلباف وابسته است. همچنین می‌توان جنبش لرزه‌ای گستره بردسیر (زمین‌لرزه ۲۰۱۱ بردسیر) را به جنبش شاخه‌های جنوب خاوری گسل رفسنجان وابسته دانست. با این دیدگاه که گستره روکانونی زمین‌لرزه بردسیر، به جز زمین‌لرزه ۱۹۲۳ Mw=6.9 پیشینه لرزه‌ای بارزی نداشته است، می‌توان گفت این زمین‌لرزه در یک کاف لرزه‌ای روی داده است. بیشینه شدت VI در بازدید میدانی سازمان زمین‌شناسی و اکتشافاتمعدنی کشور از پیرامون رو کانون زمین‌لرزه بردسیر، که بزرگ‌ترین آنها نیز هست، برآورد شده و هیچ شکستگی وابسته به این زمین‌لرزه دیده نشده است. این نشان دهنده کوچک بودن شکستگی زمین‌لرزه و به سطح نرسیدن آن است. دو زمین‌لرزه کوچک‌تر کهنوج و سیرج نیز بدین‌گونه

تنش لرزاگی از زمین‌لرزه قبلی، به دنبال آن روی دهد. بنابراین، روی سامانه گسلی بزرگ نایبند تاثیر انتقال تنش لرزاگی زمین‌لرزه‌های سیرج و کهنوچ را روی خداد زمین‌لرزه‌های پس از آن‌ها نمی‌توان نادیده گرفت. با نگاهی به نتایج این بررسی، راهاندازی شبکه‌های محلی در استان کرمان برای شناخت بیشتر سازوکار ژرفی گسل‌ها و کنش‌های لرزاگی آنها و در پی آن بررسی خطر زمین‌لرزه در آن گستره پر جمعیت گریزناپذیر است. بدیهی است که نتایج به دست آمده در این پژوهش در بررسی خطر زمین‌لرزه به روش‌های آماری، قطعی و احتمالاتی کاربرد داشته و می‌توانند به عنوان داده‌های ورودی این روش‌ها به کار روند.

اختیار گزاردن داده‌های شبکه‌های لرزاگاری سپاس‌گزاری می‌شود.

- 1-GSI
- 2-IGUT
- 3-IIEES
- 4-Triple Junction
- 5-Transcurrent
- 6-First P Motion Method

این پندار در این سه زمین‌لرزه با در نظر گرفتن خطای ۵ کیلومتری در کانون‌یابی آن‌ها به خوبی دیده می‌شود. سامانه گسلی سبزواران که در پایانه جنوبی سامانه گسلی راستالغز نایبند - گلبااف جای دارد، با روند شمالی جنوبی گستره مکران را به نواحی شمالی ایران مرکزی متصل می‌کند. رخداد زمین‌لرزه کهنوچ روی این گسل به همراه زمین‌لرزه‌های سامانه گسلی نایبند - گلبااف تنش برشی میان ایران مرکزی و نواحی لوت-مکران را تخلیه می‌نماید. می‌توان گفت که گسل‌های مسبب دو زمین‌لرزه کهنوچ و سیرج بخش‌های مهمی از یک سامانه بزرگ گسلی را (نایبند) تشکیل داده‌اند. از سوی دیگر، زمین‌لرزه رخ داده روی یک سامانه گسلی می‌تواند در پی انتقال

### سپاس‌گزاری

از سازمان زمین شناسی و اکتشافاتمعدنی کشور، موسسه ژئوفیزیک دانشگاه تهران و پژوهشگاه بین‌المللی زلزله‌شناسی و مهندسی زلزله برای در

### پانوشت

- 7-Take-off angle
- 8-Nodal Planes
- 9-Gap
- 10-CMT (Harvard Un. Centriod Moment Tensor Solution)
- 11-Rheology

### منابع

- تقابنی، م.، جوان دولوئی، غ. و عسگری، ا.ه. ۱۳۸۹/۵/۹، گزارش زمین لرزه، جنوب بردسیر، کرمان، پژوهشگاه بین‌المللی زلزله شناسی و مهندسی زلزله، گزارش داخلی.
- فاطمی، ج.، عکاشه، ب.، سلطانیان، س. و گودرزی، ح.، ۱۳۷۷ آبان ماه ۲۹، گودرزی، م.، جوان دولوئی، غ. و عسگری، ا.ه. ۱۳۹۰، گزارش زمین لرزه ۲۵ خرداد ۱۳۹۰ جنوب کهنوچ، کرمان، گروه لرزه‌زمین‌ساخت و زلزله‌شناسی،

سازمان زمین‌شناسی و اکتشافات معدنی کشور،  
گزارش داخلی.  
نعمتی، م. و اویسی، ب.، ۱۳۸۹. گزارش نخستین شبکه محلی در زاگرس میانی، سازمان زمین‌شناسی و اکتشافات معدنی کشور، گزارش داخلی.

-Akasheh, B. and Berckhemer, H., 1984. Focal mechanisms of earthquakes in Iran with special emphasis on small shocks in Tehran region, Neues jahrbuch paleontology abhandlungen, v. 168, p. 244-255.

-Ambraseys, N. and Melville, C., 1982. A History of Persian Earthquakes, Cambridge University Press.

-Berberian, M., 1976. Contribution to the seismotectonics of Iran, Part II. Geological Survey of Iran, report No. 39.

-Berberian, M., Jackson, J.A., Qorashi, M. and Kadir, M.H., 1984. Field and teleseismic observation of the 1981 Golbaf-Sirch earthquakes in SE Iran, Royal Astronomical Society Geophysical Journal, v. 77, p. 809-838.

-Berberian, M., Jackson, J.A., Fielding, E., Parsons, B., Priestley, K., Qorashi, M., Talebian, M., Walker, R., Wright, T.J. and Baker, C., 2001. The 1998 March 14 Fandoqa earthquake (M6.6) in Kerman province, southeast Iran: Re-rupture of the 1981 Sirch earthquake fault, triggering of slip on adjacent thrusts and the active tectonics of the Gowk fault zone, Geophysical Journal International, v. 146, p. 371-398.

-Berberian, M. and Qorashi, M., 1994. Coseismic fault-related folding during the south Golbaf earthquake of November 20, 1989, in southeast Iran, Geology, v. 22, p.531-534.

-Berberian, M., Jackson, J.A., Qorashi, M. and Kadjar, M.H., 1984. Field and teleseismic observations of the 1981

سازمان زمین‌شناسی و اکتشافات معدنی کشور،  
گزارش داخلی.

-شکری، م.ع.، اسکندری، م. و ضیاء، م.، ۱۳۹۰. گزارش رخداد زمین‌لرزه ۶ تیرماه ۱۳۹۰ سیرج، کرمان، گروه لرزه‌زمین‌ساخت و زلزله‌شناسی،

Golbaf-Sirch earthquakes in SE Iran, Geophysical Journal of the Royal Astronomical Society, v. 77, p. 809-838.

-Berberian, M. and Yeats, R., 1999. Patterns of Historical Earthquake Rupture in the Iranian Plateau, Bulletin of the Seismological Society of America, v. 89, p. 120-139.

-Fattahi, M., Walker, R.T., Talebian, M., Sloan, R.A. and Rasheedi, A., 2011. The structure and late Quaternary slip rate of the Rafsanjan strike-slip fault, SE Iran, Geosphere 2011, v. 7, p. 1159-1174.

-Geological Survey of Iran, 2011.

-Harvard Un., Department of Geological Sciences, Centroid Moment Tensor catalogue, [http://www.seismology.harvard.edu/CM\\_Tsearch.html](http://www.seismology.harvard.edu/CM_Tsearch.html), 2013.

-Havskov, J. and Ottemoller, L., 2005. SEISAN: theearthquake analysis software, version 8.1.

-Havskov, J. and Ottemöller, L., 2010. "Routine Data Processing in Earthquake Seismology, With Sample Data, Exercises and Software", Springer Dordrecht, Heidelberg, London, New York, 374 p.

-Hessami, K., Jamali, F. and Tabassi, H., 2003. Map of Major Active Faults of Iran, Tech. rep., International Institute of Earthquake Engineering and Seismology, Iran, <http://www.iiees.ir>.

-Institute of Geophysics University of Tehran, IGUT, <http://irsc.ut.ac.ir>, 2013.

- International Institute of Earthquake Engineering and Seismology, IIEES, <http://www.iiees.ac.ir>, 2013.
- International Seismological Center, ISC, Engdahl Catalogue, <http://www.isc.ac.uk>, 2013.
- Jackson, J. and McKenzie, D., 1984. Active tectonics of the Alpine-Himalayan Belt between western Turkey and Pakistan, *Geophysical Journal of the Royal Astronomical Society*, v. 77, p. 185-264.
- Karimiparidari, S., Zaré, M., Memarian, H. and Kijko, A., 2013. Iranian earthquakes, a uniform catalog with moment magnitudes, *Seismological Society of Japan*, 7, 233-240, *Journal of Seismology* July 2013, v. 17(3), p. 897-911.
- Lay, T. and Wallace, T.C., 1995. Modern Global Seismology, *International Geophysics Series*, v. 85.
- McKenzie, D., 1972. Active tectonics of the Mediterranean region, *Geophysical Journal of the Royal Astronomical Society*, v. 30, p. 109-185.
- Masson, F., Chery, J., Hatzfeld, D., Martinoid, J., Vernant, P., Tavakoli, F. and Ghafoury Ashtiani, M., 2005. Seismic versus aseismic deformation in Iran inferred from earthquakes and geodetic data, *Geophysical Journal International*, v. 160, p. 217-226.
- Nemati, M. and Gheitanchi, M., 2009. Analysis of 2005 Dahuieh (Zarand) aftershocks sequence in Kerman province southeast of Iran, *journal of Earth and Space Physics*, *Geophysics Institute of University of Tehran*, v. 36(4) p 1-9.
- Nemati, M., Hatzfeld, D., Gheitanchi, M., Sadidkhoy, A. and Mirzaei, N., 2011. Microseismicity and seismotectonics of the Firouzkuh and Astaneh faults (east Alborz, Iran), *Tectonophysics*, v. 506, p. 11-21.
- Nemati, M. and Tatar, M., 2015. Relations between source parameters for large Persian earthquakes, *Annals of Geophysics*, 2015 October, 58, 5, 2015, S0543; doi:10.4401/ag-6665.
- Ni, J. and Barazangi, M., 1986. Seismotectonics of Zagros continental collision zone and a comparison with the Himalayas, *Journal of Geophysical Research*, v. 91(B8), p. 8205-8218.
- Nutti, O.W., 1973. Seismic wave attenuation relations for eastern North America, *Journal of Geophysical Research*, v. 78, p. 876-855.
- Priestley, K., Baker, C. and Jackson, J., 1994. Implications of earthquake focal mechanism data for the active tectonics of the south Caspian Basin and surrounding regions, *Geophysical Journal International*, v. 118, p. 111-141.
- Stein, S. and Wysession, M., 2003. An Introduction to Seismology, Earthquakes and Earth Structure, ISBN 0-86542-078-5.
- Talebian, M. and et al., 2004. The 2003 Bam (Iran) earthquake: rupture of a blind strike-slip fault, *Geophysical Research Letters*, v. 31, L11611.
- Talebian, M., Biggs, J., Bolourchi, M., Copley, A., Ghassemi, A., Ghorashi, M., Hollingsworth, J., Jackson, J., Nissen, E., Oveisi, B., Parsons, B., Priestley, K. and Saiidi, A., 2006. The Dahuiyeh (Zarand) earthquake of 2005 February, 22 in central Iran, *Geophysical Journal International*, v. 164, p. 137-148.
- Tatar, M., Hatzfeld, D., Moradi, A.S. and Paul, A., 2005. The 2003 December 26 Bam earthquake (Iran), M 6,6, aftershock sequence, *Geophysical Journal International*, v. 163, p. 90-105.
- Masson, F., Chéry, J., Hatzfeld, D., Martinoid, J., Vernant, P., Tavakoli, F. and Ghafoury Ashtiani, M., 2005. Seismic versus aseismic deformation in

- Iran inferred from earthquakes and geodetic data, *Geophysical Journal International*, v. 160, p. 217-226.
- Walker, R.T., Priestley, K., Andalibi, M.J., Gheitanchi, M.R., Jackson, J.A. and Karegar, S., 2005. Seismological and field observations from the 1990 November 6 Furg (Hormozgan) earthquake: a rare case of surface rupture in the Zagros mountains of Iran, *Geophysical Journal International*, v. 163, p. 567-579.
- Walker, R.T., 2006. A remote sensing study of active folding and faulting in southern Kerman province, S.E. Iran: *Journal of Structural Geology*, v. 28, p. 654-668.
- Walker, R.T., Bergman, E.A., Elliott, J.R., Fielding, E.J., Ghods, A.R., Ghorashi, M., Jackson, J., Nemati, M., Oveisi, B., Talebian, M. and Walters, R., 2013. The 2010-2011 Konarak (Rigan) earthquake sequence and its implications for distributed deformation and earthquake hazard in southeast Iran, *Geophysical Journal International*, doi: 10.1093/gji/ggs109.
- Yamini-Fard, F., Hatzfeld, D., Farahbod, A.M., Paul, A. and Mokhtari, M., 2007. The diffuse transition between the Zagros continental collision and the Makran oceanic subduction (Iran): microearthquake seismicity and crustal structure, *Geophysical Journal International*, v. 170, p. 182-194.

پیوست ۱: ویژگی‌های دیداری سازوکارهای پردازش شده زمین‌لرزه‌ها در این پژوهش.

